

## О СПОНТАННОМ И ИНДУЦИРОВАННОМ ИЗЛУЧЕНИИ ЧАСТИЦ НА ВЫСШИХ ГАРМОНИКАХ В ОНДУЛЯТОРЕ С ЭЛЛИПТИЧЕСКИ ПОЛЯРИЗОВАННЫМ МАГНИТНЫМ ПОЛЕМ

Е.Г. Бессонов, Е.Б. Гаскевич

УДК 538.561

Исследована зависимость спектрально-угловой интенсивности, степени циркулярной поляризации и коэффициента усиления источников ондуляторного излучения на основной и высших гармониках от величины магнитного поля ондуляторов с эллиптически поляризованным магнитным полем.

В работе /1/ было обращено внимание на возможность эффективного генерирования ондуляторного излучения (ОИ) с высокой степенью циркулярной поляризации на высших гармониках в источниках ОИ, использующих эллиптически поляризованное магнитное поле вида  $\vec{H} = \vec{e}_x H_{xm} \cos k_0 z + \vec{e}_y H_{ym} \sin k_0 z$ , где  $k_0 = 2\pi/\lambda_0$ ;  $\lambda_0$  — длина периода ондулятора. В работе /2/ были получены общие выражения, описывающие спектрально-угловые и поляризационные характеристики излучения частиц в таких ондуляторах. Отмечалось, что при полях  $H_{xm} \approx H_c$ ,  $H_{ym} \gg H_c$ , где  $H_c = 2\pi mc^2/e\lambda_0$  — характеристическое поле ондулятора, степень циркулярной поляризации ОИ на высших гармониках может достигать значений  $\xi_2 \approx 0,94$ . Основываясь на результатах работы /2/ и известной связи между спонтанными и индуцированными процессами в источниках ОИ, можно найти коэффициент усиления источника индуцированного ОИ, т.е. лазера на свободных электронах (ЛСЭ), использующего ондуляторы с эллиптически поляризованным магнитным полем /3/.

В работе проведены исследования зависимости спектрально-угловой интенсивности и степени циркулярной поляризации источников спонтанного некогерентного ОИ, а также коэффициента усиления ЛСЭ на основной и высших гармониках от напряженности и степени циркулярной поляризации магнитного поля ондуляторов для случая, когда электронный пучок, усиливающее и спонтанное ОИ движутся в направлении оси ондулятора.

Если в источнике спонтанного и индуцированного ОИ используется ондулятор с эллиптически поляризованным магнитным полем и электронный

пучок, обладающий малым угловым и энергетическим разбросом, то спектрально-угловую интенсивность, степень циркулярной поляризации и коэффициент усиления излучения, испускаемого в направлении оси ондулятора, можно представить в виде:

$$\frac{\partial^2 I}{\partial \omega \partial \nu} = \frac{K}{\omega_1} \sum_{k=1}^{\infty} \frac{\partial I_k}{\partial \sigma} f_k, \quad \xi_{2k} = \frac{2\beta_{xm}\beta_{ym} b_{xk} b_{yk}}{\beta_{xm}^2 b_{xk}^2 + \beta_{ym}^2 b_{yk}^2}, \quad (1)$$

$$a_k = (4\pi^2 K^3 \lambda_0^2 i / \gamma^3 S_{ef} i_A) k |\vec{e}_{k\perp}|^2 f'_k,$$

где  $f_k = \sin^2 \sigma_k / \sigma_k^2$ ,  $f'_k = \partial f_k / \partial \sigma_k$ ;  $\partial I_k / \partial \sigma = mc^2 K \omega_k^3 |\vec{e}_{k\perp}|^2 i / \gamma^2 \Omega^2 k i_A$  – угловое распределение ОИ на  $k$ -ой гармонике ( $k = 1, 3, 5, \dots$ );  $\Omega = k_0 c$ ;  $K$  – число периодов ондулятора;  $\omega_k = k \omega_1$ ;  $\omega_1 = \Omega / (1 - \bar{\beta})$ ;  $\bar{\beta} = \beta [1 - (\beta_{xm}^2 + \beta_{ym}^2) / 4\beta^2]$ ;  $\beta_x(y)_m = H_y(x)_m / H_c \gamma$ ;  $\sigma_k = \pi k K (\omega - \omega_k) / \omega_k$ ;  $|\vec{e}_{k\perp}|^2 = (P_{xm}^2 b_{xk}^2 + P_{ym}^2 b_{yk}^2) / 4$ ;  $P_x(y)_m = \gamma \beta_x(y)_m$ ;  $b_{xk} = J_{(k-1)/2}(kd_z) - J_{(k+1)/2}(kd_z)$ ;  $b_{yk} = J_{(k-1)/2}(kd_z) + J_{(k+1)/2}(kd_z)$ ;  $d_z = (\beta_{xm}^2 - \beta_{ym}^2) / 8\beta(1 - \bar{\beta})$ ;  $i_A = mc^3/e$ ;  $i$  – ток пучка частиц;  $\beta = v/c$  – относительная скорость частиц пучка. Входящие в (1) функции  $f_k$  и  $f'_k$  достигают максимальных значений  $f_k \max = 1$  и  $f'_k \max = 0,54$  при значениях  $\sigma_k = 0$  и  $\sigma_k = -1,3$  соответственно. Если  $p_{xm} \gg 1$ ,  $p_{xm} \gg p_{ym}$ , то  $d_z \approx 1/2$  и величины  $|\vec{e}_{k\perp}|^2$  и  $\xi_2$  для гармоник  $k \gg 1$  можно представить в виде [2]:

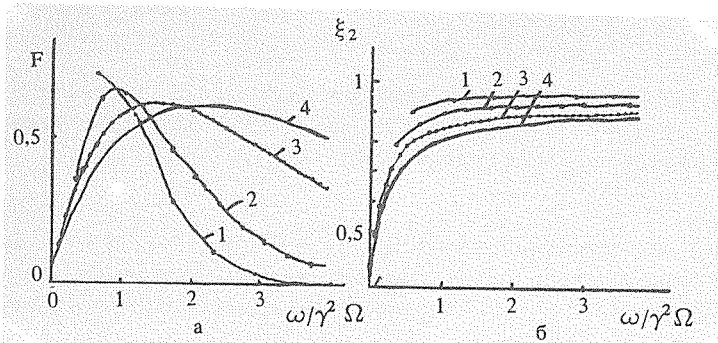
$$|\vec{e}_{k\perp}|^2 = \frac{4(p_{ym}^2 + 1)}{3\pi^2 p_{xm}^2} \left[ (p_{ym}^2 + 1) K_{2/3}^2 \left( \frac{\omega_k}{\omega_c} \right) + p_{ym}^2 K_{1/3}^2 \left( \frac{\omega_k}{\omega_c} \right) \right], \quad (2)$$

$$\xi_{2k} = 2p_{ym} \sqrt{1 + p_{ym}^2} / (1 + 2p_{ym}^2),$$

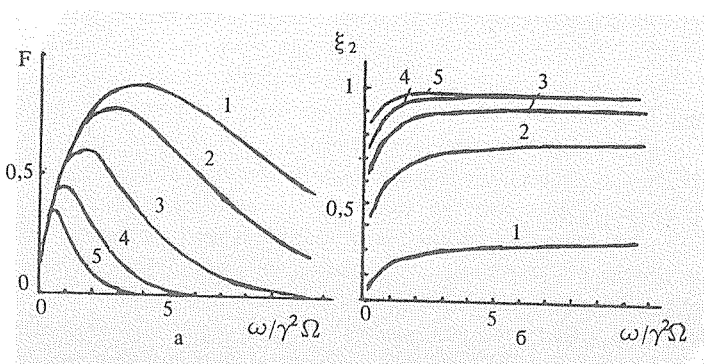
где  $K_\nu(x)$  – функция Макдональда;  $\omega_c = 3\Omega\gamma^2 p_{xm} / (p_{ym}^2 + 1)^{3/2}$ .

Из (1) следует, что зависимость спектрально-угловой интенсивности и коэффициента усиления источников ОИ от частоты и напряженности поля он-

дулятора определяется соответственно функциями  $F = 2\omega_k^2 |\vec{e}_{k\perp}|^2 / \Omega^2 \gamma^4$  и  $\Phi = 2\omega_k |\vec{e}_{k\perp}|^2 / \Omega \gamma^2$ . Эти функции нормированы условием:  $F = \Phi = 1$  при  $p_{xm} = p_{ym} = 1$  ( $H = H_0$ ),  $k = 1$ . При этом функция  $F$  принимает максимальное значение, что соответствует оптимальным условиям генерирования спонтанного ОИ в спиральном ондуляторе [2,4]. Если  $p_{xm} \gg 1$ ,  $p_{ym} \ll p_{xm}$ , то функция  $F$ , согласно (2), достигает максимального значения  $F_m < 1$  на частоте  $\omega \approx \omega_c$ . В этом случае спектр ОИ, описываемый функцией  $F$ , по форме близок к спектру синхротронного излучения, испускаемого частицами под углом  $\Theta = p_{ym}/\gamma$  к плоскости орбиты синхротрона.



Р и с. 1. Зависимость спектрально-угловой интенсивности (а) и степени циркулярной поляризации (б) ОИ от частоты для случая  $p_{ym} = 1$  и  $p_{xm} = 2$  (1), 3 (2), 6 (3), 9 (4).



Р и с. 2. Зависимость спектрально-угловой интенсивности (а) и степени циркулярной поляризации (б) ОИ от частоты для случая  $p_{xm} = 6$  и  $p_{ym} = 0,2$  (1), 0,6 (2), 1,0 (3), 1,4 (4), 1,8 (5).

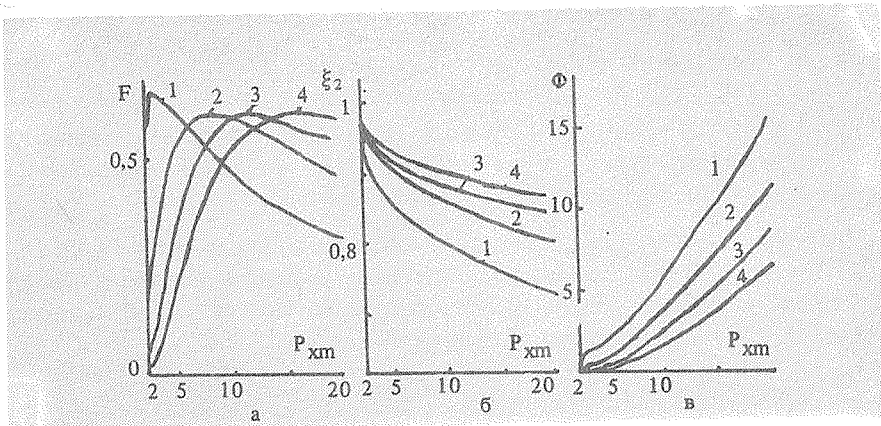


Рис. 3. Зависимость спектрально-угловой интенсивности (а), степени циркулярной поляризации (б) ОИ и коэффициента усиления ЛСЭ (в) от поперечного импульса частиц  $p_{xm}$  для случая  $p_{ym} = 1$  и значений  $\omega/\Omega\gamma^2 = 1$  (1), 2 (2), 3 (3) и 4 (4).

На рис. 1 представлены графики функций  $F$  и  $\xi_{2k}$  для случая  $p_{ym} = 1$  и различных значений  $p_{xm}$ . Видно, что интенсивность ОИ остается достаточно большой на частотах  $\omega_k > \Omega\gamma^2$ . При этом степень циркулярной поляризации  $\xi_2 > 0,8$ .

На рис. 2 представлены графики зависимости функций  $F$  и  $\xi_{2k}$  от частоты для случая  $p_{xm} = 6$  и различных значений  $p_{ym}$ . Видно, что при  $p_{ym} > 1$  жесткость ОИ быстро ( $\propto 1/p_{ym}^3$ ) падает. При  $p_{ym} < 0,6$  заметно падает степень циркулярной поляризации ОИ. Отсюда следует, что при  $p_{xm} \gg 1$  для генерации жесткого ОИ ( $\omega > \Omega\gamma^2$ ) с высокой степенью циркулярной поляризации  $\xi_2 > 0,7 \div 0,9$  величину  $p_{ym}$  следует выбирать в пределах  $0,6 < p_{ym} < 1$ .

На рис. 3 представлены графики зависимости функций  $F$ ,  $\xi_{2k}$ ,  $\Phi$  от поперечного относительного импульса частиц  $p_{xm} = H_{ym}/H_c$  для случая  $p_{ym} = H_{ym}/H_c = 1$  и различных значений  $\omega$ . В расчетах использовались значения соответствующих функций на частотах  $\omega_k$ , наиболее близких к заданной частоте  $\omega$ . Из рисунка видно, что коэффициент усиления ЛСЭ быстро ( $\propto p_{xm}^{4/3}$ ) растет с ростом  $p_{xm}$ , а степень циркулярной поляризации падает слабо, оставаясь выше значения  $\xi_2 = 0,7$ .

Из рис. 1–3 видно, что величины  $F$ ,  $\xi_{2k}$ ,  $\Phi$  в рассматриваемых условиях достаточно хорошо описываются асимптотическими формулами (2).

Эллиптически поляризованное магнитное поле может быть создано, например, с помощью универсального спирального ондулятора /5/. Такой ондулятор позволяет оперативно изменять вид поляризации (линейную на

циркулярную, циркулярную левую на циркулярную правую) как на основной, так и на высших гармониках. Результаты, приведенные в настоящей работе, применимы также к ондуляторам с линейно и циркулярно поляризованным магнитным полем /2-9/.

Поступила в редакцию 22 марта 1985 г.

## ЛИТЕРАТУРА

1. Б е с с о н о в Е. Г. Тезисы докладов VI Всесоюзной конференции по физике ВУФ излучения и взаимодействию излучения с веществом. М., МГУ, 1982, с. 108.
2. Б е с с о н о в Е. Г. Препринт ФИАН № 18, 1982.
3. Б е с с о н о в Е. Г. Труды IV Всесоюзного семинара по релятивистской ВЧ электронике "Мощные генераторы и усилители на релятивистских электронных потоках". М., МГУ, 1985, с. 67; Препринт ФИАН № 238, 1984.
4. А л ф е р о в Д. Ф., Б а ш м а к о в Ю. А., Б е с с о н о в Е. Г. ЖТФ, 43, 2126 (1973).
5. А л ф е р о в Д. Ф., Б а ш м а к о в Ю. А., Б е с с о н о в Е. Г. ЖТФ, 46, 2392 (1976).
6. Coisson R. IEEE J. of Quantum Electr., QE-17, 1409 (1981).
7. З а р е ц к и й Д. Ф., Н е р с е с о в Э. А. ЖЭТФ, 81, 517 (1981).
8. Colson W. D. Phys. Rev. A, 24, 639 (1981).
9. Becker W. Zeits. Physik., B, 42, 87 (1982).